

کلونینگ و تعیین توالی ناحیه N-ترمینال ژن IpaD شیگلا دیسانتری بومی ایران و مقایسه آن با گونه‌های ثبت شده در پایگاه‌های داده ژنی

محمد هیئت^۱، مجتبی سعادتی^{۲*}، بابک برانتی^۳، شهرام نظریان^۳، حسین هنری^۴، مرضیه اقتدار دوست^۳، فاطمه ملایی^۳

۱. کارشناس ارشد مرکز تحقیقات بیوتکنولوژی کاربردی-پژوهشگاه علوم پزشکی بقیه... (عج)-دانشگاه علوم پزشکی بقیه... (عج)

۲. دانشیار گروه علوم زیستی-دانشکده علوم و مهندسی-دانشگاه امام حسین(ع)

۳. کارشناس ارشد گروه علوم زیستی-دانشکده علوم و مهندسی-دانشگاه امام حسین(ع)

۴. استادیار گروه علوم زیستی-دانشکده علوم و مهندسی-دانشگاه امام حسین(ع)

* نشانی برای مکاتبه: تهران، دانشگاه امام حسین(ع)، گروه علوم زیستی، دانشکده علوم و مهندسی، تلفن 77104934
پذیرش برای چاپ: اسفند هشتاد و نه
دریافت مقاله: دی هشتاد و نه
Saadati_m@yahoo.com

چکیده

سابقه و هدف: از مهم‌ترین عوامل اسهال حاد باکتریایی باسیل شیگلا می‌باشد. در فرایند تهاجم شیگلا عوامل آنتی‌ژنی متعددی دخیل هستند. IpaD یکی از این عوامل است که در اولین گام تهاجم با عملکرد منحصر به فرد ناحیه N-ترمینال خود مستقلأ در تنظیم ترشح و ورود برخی آنتی‌ژن‌ها به درون سلول میزبان مورد نیاز می‌باشد. این تحقیق با هدف کلونینگ و تعیین توالی ناحیه N-ترمینال ژن IpaD باکتری شیگلا دیسانتری بومی ایران و مقایسه بیوانفورماتیکی آن با گونه‌های ثبت شده در پایگاه‌های ژنی جهت هموارسازی مطالعاتی نظری بیان و بررسی این ناحیه انجام گرفت.

روش کار: پس از تهیه یک جفت پرایمر مناسب برای ناحیه N-ترمینال، با استفاده از تکنیک PCR اقدام به تکثیر ژن گردید، محصولات PCR پس از تأیید به وکتور pGEM منتقل و با استفاده از دستگاه توالی‌یاب، توالی نوکلئوتیدی آن شناسایی و با نرم افزارهای مختلف آنالیز شد.

یافته‌ها: کلونینگ IpaD با استفاده از برش آنزیمی، PCR و تعیین توالی نوکلئوتیدی تأیید شد. بررسی‌ها نشان دادند که توالی ناحیه N-ترمینال ژن IpaD در سویه‌های بومی موردنظر مطالعه، دارای تشابه زیادی با نمونه‌های ثبت شده در پایگاه‌های داده ژنی بودند.

نتیجه‌گیری: اختلاف بسیار اندک توالی نوکلئوتیدی و پروتئینی این ناحیه از آنتی‌ژن IpaD با نمونه‌های ثبت شده در پایگاه‌های ژنی نشان‌گر آن است که این ناحیه از نقشی بسیار مهم در فرایند بیماری‌زایی برخوردار است و امکان دارد که در صورت تخریب و یا سرکوب این جایگاه قسمت اعظمی از قدرت بیماری‌زایی باکتری کاسته شود. این تحقیق راهبردی مسیری را برای مطالعات ایمونولوژیکی بر روی آنتی ژن IpaD می‌گشاید.

واژه‌های کلیدی: N-ترمینال، شیگلا دیسانتری، بیوانفورماتیک

مقدمه

باکتری شیگلا با چهار گونه شامل شیگلا سونئی، فلکسنتری، دیسانتری و بوئیدی، سبب اسهال خونی باسیلی می‌شود. این گونه‌ها براساس خصوصیات آنتی‌ژنی قسمت O پلی‌ساکارید Lps دیواره سلولی خود به سروتیپ‌های متعددی تقسیم‌بندی می‌شود. شیگلا سونئی عامل 77 درصد از گزارشات شیگلوز در کشورهای صنعتی است. شیگلا فلکسنتری در کشورهای در حال توسعه اندمیک بوده و شیوع آن در سراسر دنیا حدود 60 درصد نسبت به سایر سوش‌ها بیشتر است. شیگلا دیسانتری تیپ یک (Sd₁) عامل اسهال خونی اپیدمیک بوده و در کشورهای جهان سوم، به

ویژه در کشورهای آسیایی شیوع بیشتری دارد. شیگلا بوئیدی به طور کلی از شیوع کمتری نسبت به سایر گونه‌ها برخوردار است. اما اخیراً در بنگلادش و پاکستان شیوع پیدا کرده است.^(۱,۲).

بیماری‌زایی شیگلا در نتیجه فعالیت ژن‌های زیادی که اکثر آن‌ها بر روی پلاسمید بسیار بزرگ شیگلا مستقر مستند صورت می‌پذیرد.^(۳) با بررسی مدل تهاجمی این باکتری به وضوح می‌توان دریافت شیگلا از طریق ترانس‌سیتوز در سلول‌های M به اپی‌تیلیوم کولون میزبان حمله کرده و سپس از طریق سیستم ترشحی نوع سوم پروتئین‌های ناقل و مؤثر خود را به بیرون ترشح می‌کند.^(۴).

طراحی پرایمرهای پیشرو و پیرو گردید. بدین ترتیب که از درون ژن IpaD و در ناحیه N-ترمینال نزدیک به مرکز آن یک ناحیه 344 جفت بازی که در همه گونه‌های شیگلا وجود داشت و از یک همسانی ویژه برخوردار بود انتخاب و با مشخص نمودن قسمت‌های ابتدایی و انتهایی آن پرایمرهای زیر طراحی شدند: پرایمیر پیشرو ۵' TCATGAATT CAGAACAAACAAATCAG ۳' TCTTAAG CTTTAAGTATGAACTAACG پیرو ۵' TCTTAAG CTTTAAGTATGAACTAACG در پرایمرهای فوق، نواحی برش نیز طراحی شدند بدین ترتیب که در انتهای ۵' پرایمیر پیشرو ناحیه برش EcoRI و در انتهای ۵' پرایمیر پیرو ناحیه برش HindIII قرار داده شد. در پرایمیر پیرو نیز علاوه بر ناحیه برش آنزیمی یک کدون خاتمه دهنده بیان (TTA) در نظر گرفته شد. این دو مورد در حقیقت پیش‌بینی برای ادامه کار یعنی بیان ژن بود. برای تهیه الگوی PCR از دو روش مستقیم و غیر مستقیم استفاده گردید. در روش مستقیم از گونه‌های مختلف باکتری شیگلا دیسانتری رشد یافته در محیط مایع LB به عنوان الگوی PCR استفاده شد. در روش غیر مستقیم از ژنوم استخراج شده شیگلا دیسانتری با روش CTAB/NaCl (15) یا اعمال اندکی تغییرات به عنوان الگوی PCR استفاده شد. پس از انجام عمل PCR که بر اساس دستور العمل‌های مندرج در جداول ۱ و ۲ انجام شد.

مواد	غلظت نهایی	مقدار مورد نیاز برای یک واکنش ۵۰ میکرولیتری
آب دیوار تقطیر	-	۳۵.۵ میکرولیتر
(X) 10MgSO4	X ۱	۵ میکرولیتر
(+) mM(10dNTP)	mM1 برای هر کدام	۵ میکرولیتر
پرایمیر پیشرو	Pmo10.2	۱ میکرولیتر
الگو	Pmo10.2 μg/μl1	۱ میکرولیتر (روش مستقیم) ۲ میکرولیتر (روش غیر مستقیم)
DNA پلی مرازن Pfu	u/μl0.5 - 1.25	۰/۵ میکرولیتر

جدول ۱. برنامه دستگاه ترموسایکلر

چرخه	نام مولده	دما	زمان	تکرار چرخه
اول	دنا توراسیون اولیه	°c94	۵ دقیقه	۱ بار
دوم	دنا توراسیون	°c94	۱ دقیقه	30 بار
	اتصال	°c58	۱ دقیقه	
	تکثیر	°c72	2/20 دقیقه	
سوم	تکثیر نهایی	°c72	۵ دقیقه	۱ بار

جدول شماره ۲. نسبت‌های مواد برای انجام یک آزمایش PCR

در فرایند تهاجم شیگلا عوامل آنتی‌زنی متعددی دخیل هستند که نوبت به نوبت وارد عمل می‌شود و نقش خود را ایفا می‌نمایند. از جمله پروتئین‌های اولیه و بسیار مهم در آغاز تهاجم شیگلا پروتئین IpaD می‌باشد(۵). IpaD یکی از پروتئین‌های مؤثر در فرایند تهاجم می‌باشد که در تجمع سایر پروتئین‌های تهاجمی بر روی سطح اپیتلیوم نقش اساسی را ایفا می‌نماید(6). پروتئین IpaD ۳۳۲ اسید‌آمینه و ۳۷ کیلودالتون وزن دارد (۷). ژن IpaD با ۹۹۹ جفت باز یکی از ژن‌های موجود در اپرون (اپرون IpaA,B,C,D) می‌باشد(۸). نقش کلیدی این ژن که تا چند سال پیش ناشناخته بود اکنون به واضح شرح داده شده است. در یک جمله می‌توان این گونه بیان نمود که IpaD در حضور نمک‌های صفراء نظیر دزوکسی کولات مستقلأ در تنظیم ترشح و ورود کارآمد IpaC و IpaB به درون سلول میزبان مورد نیاز می‌باشد. (۹،۸،۶). دو پروتئین ترشح شده توسط سیستم ترشحی نوع سوم (TTSS) یعنی IpaC و IpaB با تمایل زیاد به گیرنده‌های خود بر روی سطح سلول اپیتلیال، مانند CD44 متصل می‌شوند(۱۰) و با ایجاد یک منفذ در غشاء سلول‌های اپی‌تلیال روده سبب تشکیل کیسه ماقروپنیوستیک شده که این کیسه اجازه ورود باکتری به سیتوپلاسم سلول را می‌دهد(۱۱،۱۲). بررسی‌های انجام شده بر روی نواحی مختلف IpaD نشان دادند که مهم‌ترین ناحیه عمل کننده در پروتئین IpaD ناحیه N-ترمینال نزدیک به مرکز یعنی ناحیه بین زیبدوها ۷۲ تا ۱۶۱ می‌باشد همچنین مطالعات نشان داده‌اند که ناحیه‌ای غنی از اپی‌توب در این منطقه وجود دارد. این ناحیه از IpaD دقیقاً همان ناحیه‌ای است که با نمک‌های صفراء موجود در دستگاه گوارش واکنش داده، فعال می‌شود و عملکرد منحصر به فرد خود یعنی ترشح برخی دیگر از آنتی‌زن‌ها را انجام می‌دهد(۸). هرگونه تغییر در توالی، دستکاری، تخریب و سرکوب این ناحیه می‌تواند منجر به از دست رفتن فعالیت IpaD و در نتیجه بیماری‌زا بودن شیگلا گردد از این رو حفاظت از این ناحیه برای باکتری حیاتی می‌باشد(۱۳،۱۴). این تحقیق با هدف کلونینگ و مقایسه بیوانفورماتیکی ناحیه N-ترمینال ژن IpaD در باکتری شیگلا دیسانتری بومی ایران جهت سنجش میزان قربات و حفاظت این ناحیه در مقایسه با گونه‌های ثبت شده در پایگاه‌های داده ژنی و همچنین هموارسانی مطالعاتی بعدی نظیر بیان و بررسی اینمنی زایی این ناحیه انجام گرفت تا در صورت اینمنی زایی مناسب این ناحیه بتوان از آن به عنوان یک کاندیدای مناسب برای واکسن علیه شیگلا استفاده نمود.

روش کار

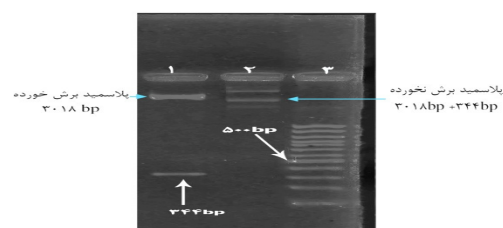
باکتری شیگلا دیسانتری تهیه شده از بیمارستان میلاد-تهران، محیط کشت‌های مناسب باکتریایی، آنژیم‌های پلیمراز، محدود‌گر و اتصال دهنده از مهم‌ترین موارد مورد نیاز برای این تحقیق بودند. برای به انجام رساندن این طرح تحقیقاتی ابتدا می‌باشد سوشهای کلینیکال تهیه شده را مورد آزمایش قرار داد تا از صحت آن‌ها اطمینان حاصل گردد. به این منظور از دو روش بیوشیمیایی و تست آنتی‌بیوگرام بهره گرفته شد و صحت سوشهای مورد تأیید قرار گرفت. پس از احرار صحت گونه‌ها سکانس ژنی IpaD شیگلا دیسانتری از پایگاه‌های داده ژنی مختلف (نظیر SRS و Gene SRS) استخراج گردید. در ادامه با استفاده از نرم افزار Oligo (Bank

ستون شماره 1. نشان‌گر DNA 100 جفت بازی ،
ستون شماره 2. محصول PCR قبل از برش آنزیمی که در راستای باند
344 جفت بازی قرار گرفته است.

ستون شماره 3. محصول PCR پس از برش آنزیمی را نشان می‌دهد که طبق پیش‌بینی به دو قسمت 234 جفت بازی و 110 جفت بازی تقسیم شده است.

لحاقي محصول PCR به درون وکتور pGEM و انتقال آن به باکتری E. coli که در اصطلاح کلونینگ نامیده می‌شود با استفاده از سه روش زیر تأیید گردید. الف) PCR مستقیم (استفاده مستقیم از باکتری به عنوان الگو) و PCR غیرمستقیم (تلخیص پلاسمید و استفاده از آن به عنوان الگو) (تصویر 2). ب) برش آنزیمی پلاسمید تلخیص شده که طی آن ناحیه 344 جفت بازی مورد نظر از پلاسمید جدا گردید (تصویر 3). ج) تعیین توالي ناحیه مورد نظر از پلاسمید نوترکیب با استفاده از پرایمرهای ذکور.

تصویر شماره 2. الکتروفورز محصولات PCR با روش مستقیم و غیر مستقیم

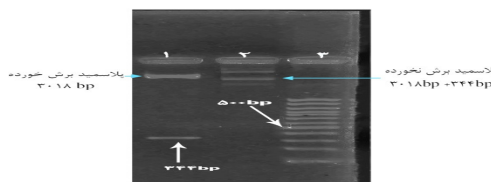


ستون شماره 1. محصولات PCR ناحیه N-ترمینال ژن IpaD می‌باشد.(روش مستقیم)

ستون شماره 2. نشان‌گر DNA 100 جفت بازی

ستون شماره 3. محصولات PCR ناحیه N-ترمینال ژن IpaD . (روش غیر مستقیم)

تصویر 3. الکتروفورز واکنش هضم آنزیمی سازه pGEM-IpaD بر روی ژل آگارز 1 درصد



ستون شماره 1. پلاسمید نوترکیب برش خورده. یک قطعه 344 جفت‌بازی که قطعه ژنی مورد نظر است و یک باند 3018 جفت‌بازی در ابتدای ستون وجود دارد که پلاسمید pGEM است.

ستون شماره 2. پلاسمید نوترکیب pGEM-IpaD بدون هضم آنزیمی

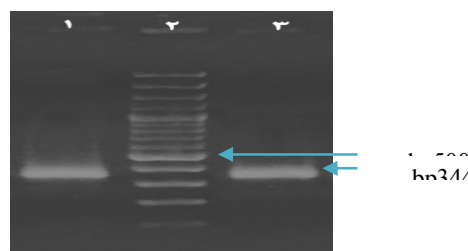
ستون شماره 3. نشان‌گر DNA 100 جفت بازی.

برای تأیید محصولات نهایی از روش برش آنزیمی محصولات PCR بهره گرفته شد. برای انجام این تست تأییدی ابتدای سایت‌های برش آنزیمی سکانس موردنظر با استفاده از نرم افزار تحت شبکه Webcuttre شناسایی شد. مشخص گردید که اگر محصول PCR با آنزیم EcoRV هضم شود، دو قطعه 234 و 110 جفت بازی ایجاد می‌گردد. پس از برش محصولات PCR با آنزیم EcoRV با آنزیم EcoRV هضم شود، دو قطعه 124 و 110 درصد الکتروفورز گردید. به منظور الحال مخصوص PCR به وکتور pGEM به کمک آنزیم Taq pلمیار یک باز dATP به انتهای 3' آن‌ها اضافه گردید این کار با هدف ایجاد لنگرگاه برای انتقال محصول PCR به انتهای 5' وکتور pGEM به دارای تیمین آزاد می‌باشد انجام می‌پذیرد(16). سپس طی واکنش اتصال (لیگیشن) ژن IpaD به وکتور pGEM وارد گردید. در این واکنش 12 ساعته که در دمای 14 درجه سانتی گراد انجام پذیرفت قطعه تکثیر یافته حاصل از فرایند PCR توسعه آنزیم T4 لیگاز به وکتور pGEM الحال یافت. مرحله انتهایی فرایند کلونینگ انتقال سازه نوترکیب pGEM-IpaD به درون یک میزبان مستعد بود(17). انتقال سازه- pGEM-IpaD به درون سلول‌های مستعد E. coli.DH5α IpaD به از طریق فرایند های شیمیایی-شوك حرارتی انجام شد(18). نکته قابل ذکر اینکه نشان‌گر انتخاب وکتور pGEM ژن مقاومت به آمپی سیلین می‌باشد و می‌بایست جهت انتخاب باکتری‌های نوترکیب در محیط‌های کشت از غلظت‌های مناسب این آنتی‌بیوتیک استفاده گردد. برای تأیید کلونینگ در E. coli از سه روش استفاده گردید: ۱) تأیید کلونینگ با استفاده از PCR که در این روش وجود قطعه هدف بر روی پلاسمید نوترکیب بررسی و تأیید شد. در این روش در مرحله نخست به عنوان روش مستقیم از خود باکتری‌های کلون شده و در مرحله دوم از پلاسمید تلخیص شده از کلون‌ها به عنوان الگو استفاده شد. ۲) هضم پلاسمید به pGEM-IpaD به منظور بررسی باکتری‌های حاوی E. coli نوترکیب که در این روش به منظور اطمینان از صحت کلونینگ، بر روی پلاسمیدهایی که آن‌ها مثبت شده بود واکنش هضم آنزیمی دوگانه با آنزیمهای EcoRI و HindIII انجام پذیرفت. ۳) روش سوم تأیید فرایند کلونینگ، تعیین توالي با استفاده از دستگاه توالي یاب بود که در مرکز زنیک انسانی پژوهشگاه بقیه‌الله (عج) به انجام رسید. توالي‌های بدست آمده با استفاده از آنالیزهای نرم افزار BLAST با سایر توالي‌های موجود در بانک‌های ژنی هم‌ردیف گردید و میزان شباخت و قربات آن‌ها ارزیابی شد هم‌چنین توالي بدست آمده با Megalign مورد ارزیابی قرار گرفت و با گونه‌های ثبت شده مقایسه گردید و نواحی اپی‌توپیک آن با نرم افزار Protean آنالیز شد.

یافته‌ها

پس از تلخیص ژنوم شیگلا از آن به عنوان الگو در فرایند PCR با آنزیم Pfu استفاده شد و محصول 344 جفت بازی PCR پس از برش آنزیمی با آنزیم EcoV و الکتروفورز آن بر روی پلی‌اکریل‌آمید 12 درصد مورد تأیید قرار گرفت. آنزیم EcoRV 344 جفت‌بازی را در یک ناحیه برش داد و مطابق با انتظار دو قطعه 110 و 234 جفت‌بازی حاصل از برش بر روی ژل پلی‌اکریل‌آمید مشاهده شد(تصویر 1).

تصویر 1. الکتروفورز محصولات PCR هضم شده با استفاده از آنزیم EcoRV بر روی ژل پلی‌اکریل‌آمید 12 درصد



آنتی‌بادی‌هایی که این ناحیه را شناسایی می‌نمایند توانایی شیگلا را برای ایجاد منفذ در سلول‌های میزبان سرکوب می‌نمایند(22). همچنین کلت اف استنسروود و همکارانش با مطالعه بر روی این پروتئین ناحیه N-ترمینال نزدیک به مرکز یعنی رزیدوهای مایبن 72-162 را به عنوان اصلی‌ترین ناحیه عملکردی IpaD معرفی نمودند(8). بر اساس تحقیقات این دانشمندان ایجاد هرگونه اختلال در این ناحیه منجر به از دست رفتن عملکرد IpaD می‌گردد. جانسون و همکارانش با مطالعات گسترهای که بر روی دومین‌های مختلف IpaD انجام دادند متوجه شدند برخلاف ناحیه N-ترمینال نزدیک مرکز دو ناحیه ابتدایی N-ترمینال و ناحیه C-ترمینال IpaD نقش چندانی در عملکرد این پروتئین ندارند و نقش آن‌ها به ترتیب در خود-اتصالی و اتصال IpaD به باکتری خلاصه می‌شود(23). محققین در سال 2008 انجام دادند نشان دادند که پروتئین IpaD و مشقات عملکردی آن مانند ناحیه N-ترمینال نزدیک به مرکز می‌توانند منجر به تولید آنتی‌بادی Anti-IpaD گردد. آن‌ها همچنین با طراحی آزمایشاتی نشان دادند که قبل از بکارگیری سایر افکتورهای پروتئینی بر روی سطح باکتری، این آنتی‌بادی‌ها با تداخل در عملکرد IpaD، آن را بلوکه کرده و مانع انجام عملکرد آن می‌گردد(13). در مطالعه حاضر که برای اولین بار در ایران به انجام رسید پس از تأیید بیوشمیایی باکتری‌های کلینیکال شیگلا دیسانتری با استفاده از فرایند PCR قطعه 344 جفت بازی مورد انتظار مربوط به ناحیه N-ترمینال IpaD این گونه باکتریایی تکثیر گردید و با تست تأییدی هضم آنزیمی صحت توالی محصولات PCR تأیید و سپس نواحی تکثیر شده به وکتور pGEM ملحق گردید و به باکتری E. coli DH5α منتقل شد و با تست‌های مختلف این فرایند تأیید گردید و در ادامه توالی بدست‌آمده با نرم‌افزارهای بیوانفورماتیکی مورد آنالیز قرار گرفت. این تحقیق با محوریت شناسایی ناحیه N-ترمینال و مقایسه آن با گونه مشابه ثبت شده در پایگاه زنی به انجام رسید تفاوت عمدۀ تحقیق ما با سایر آزمایشات از این دست در این بود که در این تحقیق تنها ناحیه‌ای ویژه از زن انتخاب و مورد بررسی قرار گرفت تا در ادامه نیز محققین دیگر اثرات ایمونولوژیکی پیشید حاصل از بیان این ناحیه را به طور ویژه بررسی نمایند. در حال حاضر محققینی در مرکز تحقیقات دانشگاه امام حسین(ع) پیرامون این موضوع و موارد مشابه در آنتی زن‌های IpaB، IpaC و IpaD غالیت می‌نمایند.

تشکر و قدردانی

از جناب آقای دکتر رهبر، مهندس میرزاپی و مهندس منصوری به جهت همکاری در انجام این تحقیق تشکر می‌نماییم.

در این تحقیق که ناحیه مابین نوکلئوتید 163 تا 483 زن IpaD (معادل اسید‌آمینه‌های 55 الی 161 پروتئین IpaD) کلون و تعیین توالی گردید، پس از آنالیز داده‌ها توسط نرم‌افزار BLAST مشخص گردید که این ناحیه در گونه ایرانی 98.11 درصد با 4 گونه شیگلا دیسانتری ثبت شده در پایگاه‌های داده زنی مشاهده دارد. اختلاف در توالی‌ها تنها در 7 نوکلئوتید مشاهده گردید که 4 نوکلئوتید آن در خارج از محدوده عملکردی IpaD بودند. ادامه بررسی توالی‌ها با نرم‌افزار Megalign نشان دادند که اختلاف 3 نوکلئوتیدی در ناحیه عملکردی میان گونه بومی و گونه استاندارد باعث ایجاد تنها یک تغییر در توالی پیشیدی شده است. این داده‌های حاکی از آن است که ناحیه عملکردی IpaD به نسبت نواحی دیگر به طرز مناسبی حفاظت شده و این خود گویای اهمیت این ناحیه می‌باشد. مطالعات در جهت یافتن نواحی اپی‌توپیک (نواحی محرك سیستم ایمنی) با استفاده از نرم افزار Protean ادامه یافت و مشخص گردید که 4 ناحیه اپی‌توپیک در توالی‌های عملکردی وجود دارد که نشان‌دهنده تناسب این جایگاه برای تحریک سیستم ایمنی میزبان می‌باشد. لازم به ذکر است که این نرم‌افزار نواحی اپی‌توپیک را تنها بر اساس ترتیب اسید‌آمینه‌ها تعیین می‌نماید و توانمندی پیشگویی ساختار فضایی اپی‌توپ را ندارد.

بحث

باکتری شیگلا یکی از اعضای خانواده انتروباکتریاسه و عامل ایجاد اسهال خونی می‌باشد. در باکتری شیگلا آنتی زن‌های متعددی وجود دارد که باکتری با استفاده از آن‌ها روند تهاجمی خود را پایه‌ریزی می‌نماید. محققان تلاش‌های زیادی را برای کنترل این عامل بیماری‌را از طریق ایمنیزه کردن افراد نموده‌اند اما طبق آخرین آمار تاکنون هیچ واکسن پایدار نوتکیب علیه این عامل به تأیید سازمان جهانی بهداشت نرسیده است(19). بیشترین مطالعات در حوزه واکسن بر روی سه فاکتور VirG، Lps و Ipa صورت پذیرفته است. مطالعه بر روی این سه فاکتور بر اساس یک پشتونه منطقی می‌باشد. در باکتری شیگلا ده‌ها فاکتور ایمنی‌زیک تولید می‌گردد. اما بدن انسان تنها به این سه فاکتور پاسخ ایمنی‌زیک می‌دهد(20،21). یکی از اولین پروتئین‌هایی که در مسیر تهاجمی شیگلا ایفای نقش می‌نماید پروتئین IpaD است. IpaD یک پروتئین 37 کیلودالتی می‌باشد و جایگاه آن بر روی بلاسمید بزرگ و مهاجم شیگلا است. توربیفیل و همکارانش بر روی دومین‌های مختلف IpaD نشان دادند که مهمترین ناحیه این پروتئین از لحاظ آنتی‌زنیستیه ناحیه N-ترمینال نزدیک به مرکز می‌باشد. آن‌ها همچنین عنوان نمودند که این ناحیه غنی از اپی‌توپ‌های در دسترس برای سیستم ایمنی می‌باشد که این خاصیت برای نواحی دیگر وجود ندارد. همچنین آن‌ها دریافتند که

REFERENCES

- Key B, Clemens J, Kotloff. Generic protocol to estimate the burden of shigella diarrhoea and dysenteric mortal. Tex Book. 1999;pp 146-151.
- Johnson J, Alvarez CM, Sanz JC, Ramiro R. Late detection of a shigellosis outbreak in a school in Madrid. Euro Surveillance. 2005;10: 268-70.
- Hale TL. Genetic basis of virulence in Shigella species. Microbiol.Rev. 1991;55:206-224.

4. Clerc P, Sansonetti PJ. Entry of *Shigella flexneri* into HeLa cells: evidence for directed phagocytosis involving actin polymerization and myosin accumulation. *Infect Immun.* 1987; 55:2681–2688.
5. Hale TL, Oaks EV, Formal SB. Identification and antigenic characterization of virulence-associated, plasmid-coded proteins of *Shigella* spp. and enteroinvasive *Escherichia coli*. *Infect Immun.* 1985; 50: 620–629.
6. Picking WL, Nishioka H, Hearn PD, Baxter MA, Harrington AT, Blocker A, Picking WD. IpaD of *Shigella flexneri* Is Independently Required for Regulation of Ipa Protein Secretion and Efficient Insertion of IpaB and IpaC into Host Membranes. *Infection and Immunity*, Mar. 2005; 73:1432–1440.
7. Venkatesan MM, Buysse JM, Kopecko DJ. Characterization of invasion plasmid antigen genes (ipaBCD) from *Shigella flexneri*. *Proc Natl Acad Sci USA*. 1988; 85: 9317–9321.
8. Stensrud, K.F., Adam, P.R., La mar, C.D., Olive, A.R., Lushington, G.H. Sudharsan, R., Shelton, N.L., Givens, R.S., Picking, W.L. and Picking, W.D. Deoxycholate Interacts with IpaD of *Shigella flexneri* in Inducing the Recruitment of IpaB to the Type III Secretion Apparatus Needle Tip. *Biological Chemistry* .238: 27, 18646-18654. 2008.
9. Espina M, Olive AJ, Kenjale R, Moore DS, Ausar F, Kaminski RW, Oaks EV, Middaugh CR, Picking WD and. Picking WL. IpaD Localizes to the Tip of the Type III Secretion System Needle of *Shigella flexneri*. *Infect Immun.* 2006; 74(8): 4391–4400.
10. Skoudy A, Mounier J, Aruffo A, Ohayon H, Gounon P, Sansonetti P and Guy Tran Van Nhieu. CD44 binds to the *Shigella* IpaB protein and participates in bacterial invasion of epithelial cells. *Cell Microbiol.* 2000; 2: 19–33.
11. Blocker A, Gounon P, Larquet E, Niebuhr K, Cabiaux V, Parsot C and Sansonetti P. The Tripartite Type III Secretion of *Shigella Flexneri* Inserts IpaB and IpaC into Host Membranes. *J. Cell Biol.* 1999; 147: 683–693.
12. Adam T, Arpin M, Prevost MC, Gounon P and, Sansonetti PJ. Cytoskeletal rearrangements and the functional role of T-plastin during entry of *Shigella flexneri* into HeLa cells. *J. Cell Biol.* 1995; 129: 367–381.
13. Patent services data base, World Intellectual property Organization (WIPO) Title of patent: shigella ipaD protein and its use as a vaccine against shigella infection, 2008. patent IP: WO 2008044149 20080417.
14. Sani, M. Weapons of Mass Secretion: The Type III Secretion System of *Shigella flexneri*, Printed in the Netherlands by Gildeprint Drukkerijen BV, Enschede. paper version ISBN: 90-367-2933-5.
15. Bando SY, Valle GR, Luiz MM, Trabulsi R and Moreira Filho CA. characterization of enteroinvasive *Escherichia coli* and *shigella* strains by RAPD analysis. *FEMS Microbiology Letters*: 1998 165: 159-165
16. Promega instructions for use of products A1360, A1380, A3600 and A3610. pGEM-T and pGEM-T Easy Vector Systems, technical manual printed in USA, N; 042, pp 1-8
17. Laboratory Protocols Cimmyt, Applied Molecular Genetics Laboratory Third Edition. ISBN: 968-6923-30-6. 2008, P: 71-72
18. Sambrook J and Russell D. Molecular Cloning, A Laboratory Manual. The Hanahan Method for Preparation and Transformation of competent *E.coli* high-efficiency Transfomation. Cold Spring Harbor Laboratory Press. 2001.

19. Agerberth B, Sweden S.A, Kane A, Bardhan PK and et al. text book. Guidelines for the control of shigellosis, including epidemics due to *Shigella dysenteriae* type 1. Printed by the WHO Document Production Services, Geneva, Switzerland. ISBN 92 4 159233. 2005. Pp.9-11.
20. Kevin R, Turbyfill K, Sam W, Joseph B And Edwin V. Recognition of Three Epitopic Regions on Invasion Plasmid Antigen C by Immune Sera of Rhesus Monkeys Infected with *Shigella flexneri* 2a. *Infection and Immunity*, 1995;63: 3927–3935.
21. Lingling Z, Wang Yu, Andrew J, Olive N, Smith D, William D. Picking R.N. Guzman D. and Wendy L. Identification of the MxiH Needle Protein Residues Responsible for Anchoring Invasion Plasmid Antigen D to the Type III Secretion Needle Tip. *J. Biological Chemistry*, 2007; 282: 44, pp. 32144–32151.
22. Turbyfill K.R, Jennifer A.M, Corey P.M, and Edwin V.O. Identification of Epitope and Surface-Exposed Domains of *Shigella flexneri* Invasion Plasmid Antigen D (IpaD). *Infection and Immunity*, 1998; 66:1999–2006.
23. Johnson S, Roversi P, Espina M, Olive A, Deane JE, Birket S, Field T, Picking WD, Blocker A., Galyov EE, Picking WL, Lea SM. Self-Chaperoning of the Type III Secretion System needle tip proteins IpaD and BipD. *J Biol Chem*. 2007;282(6): 4035–4044.